

不規則荷重によるはりの静的応答

鳥取大学工学部 正会員 ○高岡宣善
鳥取大学工学部 正会員 白木 疎
鳥取大学大学院 学生員 松保重之

1. まえがき 不規則荷重がはりに作用する場合の静的応答を2次までのモーメントを用いて評価し、同時にこれらの結果を用いて信頼性解析を行った。解析例としては、1つの集中不規則荷重が作用する場合と分布不規則荷重が作用する場合を考えた。

2. 1つの集中不規則荷重が作用する場合のはりの静的応答および信頼性 はりに単独走行車両が載荷した場合を想定して、載荷位置、大きさとともに不規則で、それぞれ \bar{P} で表わされ、1つの集中荷重が単純ばかりに作用する場合を考える。そうすると、応答量は $R(x)=\bar{P}g(x,\bar{P})$ として表わせら。ただし、 $g(x,\bar{P})$ は点 x に単位荷重が作用した場合の x 断面の応答を表す影響関数である。この時 \bar{P} ともが互いに非相関であれば、応答の確率密度 $P_R(R)$ は2次元不規則変数の分布法則より求めるられ式(1)となる。ただし、 $P_R(q)$ 、 $P_R(R)$ はそれぞれ不規則変数 q 、 R の確率密度である。応答の確率密度が求められれば、応答の平均、分散 D_R がよび破壊確率 Q は式(2)、(3)のように求められる。式(3)において積分の下限 R_{th} は、許容応答量である。具体例としてスパン L の単純ばかりを考え、スパン中央の曲げモーメントを許すことにする。まず、影響関数 g は載荷位置 \bar{P} の関数(図-1参照)だから、 $P_R(q)$ を \bar{P} の確率密度 $P_R(R)$ によって表わしてみる。 $g(\frac{L}{2}, \bar{P})$ の分布関数 $P_g(q)$ は、その分布関数 $P_g(t)$ を用いて表わすと、 $P_g(q)=P_g(q-L-t)+P_g(q-L-t)+P_g(L-t)$ となるので、影響関数の確率密度 $P_g(q)$ は次式のように表わすことができる。

$$P_g(q)=\frac{d}{dq}P_g(q)=\frac{P_g(t)}{\left[\left(\frac{dq}{dt}\right)_{t=0}\right]}+\frac{P_g(L-t)}{\left[\left(\frac{dq}{dt}\right)_{t=0}\right]}=2\{P_g(t)+P_g(L-t)\} \quad (4)$$

したがって、もし載荷点 \bar{P} がスパン L で一様分布するとすれば、式(1)、(4)より曲げモーメントの確率密度 $P_R(M)$ は式(5)となる。さらに荷重の大きさ \bar{P} が正規分布に従うとすれば、最終的に曲げモーメントの平均 M と分散 D_R が式(2)、(6)により式(6)として得られ、破壊確率 Q も許容(設計用)曲げモーメント M_{COMP} が与えられると、式(7)のように得られる。式(6)の t において、 \bar{P}_t は荷重 \bar{P} の期待値と標準偏差である。

$$P_R(R)=\int_{-\infty}^{\infty} P_R(q) P_R(P) \left| \frac{\partial q}{\partial R} \right| dR = \int_{-\infty}^{\infty} P_R(R) \frac{P_R(P)}{P} dP \quad (1)$$

$$\bar{R}=\int_0^{\infty} P_R(R) R dR, D_R=\int_0^{\infty} P_R(R) (R-\bar{R})^2 dR \quad (2)$$

$$Q=\int_{R_{th}}^{\infty} P_R(R) dR, \quad (3)$$

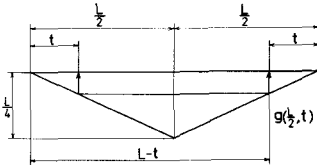


図-1

$$P_R(M)=\frac{4}{L} \int_{\frac{L}{2}}^{\infty} P_g(t) \frac{dP}{P} \quad (5)$$

$$\begin{aligned} M &= \frac{4}{\sqrt{2\pi} \sigma_P L} \int_{\frac{L}{2}}^{\infty} \int_{\frac{L}{2}}^{\infty} \frac{M}{P} \exp\left\{-\frac{(P-\bar{P})^2}{2\sigma_P^2}\right\} dP dM \\ D_R &= \frac{4}{\sqrt{2\pi} \sigma_P L} \int_{\frac{L}{2}}^{\infty} \int_{\frac{L}{2}}^{\infty} \frac{(M-\bar{M})^2}{P} \exp\left\{-\frac{(P-\bar{P})^2}{2\sigma_P^2}\right\} dP dM \end{aligned} \quad (6)$$

$$Q=\frac{1}{\sqrt{2\pi} \sigma_P} \int_{4M_{COMP}}^{\infty} \left(1 - \frac{4M_{COMP}}{LP}\right) \exp\left\{-\frac{(P-\bar{P})^2}{2\sigma_P^2}\right\} dP \quad (7)$$

3. 分布不規則荷重が作用する場合のはりの静的応答および信頼性 載荷車両は、上に述べてきたように単独走行車両ばかりではなく、車群を形成した場合もある。さらに、はりを設計するという前提のもとでは、一番の危険状態であり走行時を考慮すべきであることを考えると、荷重が空間的に連続分布していることをなすことができる。このことは、特に何車線がある橋において言えることである。そこで、図-2のようにスパン L の単純ばかりに分布不規則荷重 $q(x)$ が作用している時の静的応答について考える。この場合、はりの曲げモーメント $M(x)$ と $q(x)$ との間に、式(8)に示すような関係式が成

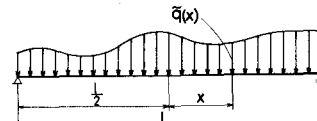


図-2

立する。この微分関係式は線型性を有するので不規則関数論により、曲げモーメントの相関関数 $K_M(x_1, x_2)$ と荷重の相関関数 $K_g(x_1, x_2)$ との間に式(9)なる関係式が成立する。したがって、 $K_g(x_1, x_2)$ が与えられれば、はりの両端における曲げモーメントは 0 だから両端断面における曲げモーメントと他断面における曲げモーメントとは相関がないという境界条件式(10)のもとに式(9)を解けば、曲げモーメントの相関関数 $K_M(x_1, x_2)$ が得られる。いま、荷重 $\tilde{g}(x)$ は定常不規則関数で、その相関関数を x 座標の差によつて $K_g(x_1, x_2) = K_g(t) = D_g e^{-\alpha|t|}$ のように書かれて仮定する。ただし、 D_g は荷重の分散であり、はりの全長にわたつて定数である。そうすると、微分方程式(9)を解くことによつて $K_M(x_1, x_2)$ を次式のように得る。

$$K_M(x_1, x_2) = \frac{D_g}{\alpha^2} \left[e^{\frac{\alpha^2}{2}} \left(\frac{ch \frac{\alpha l}{2} - ch \alpha x_1 - ch \alpha x_2 + \frac{4x_1 x_2}{l} ch \frac{\alpha l}{2} - 2 \frac{x_1 ch \alpha x_2 + x_2 sh \alpha x_1}{l} + \alpha^2 (x_1^2 + x_2^2) \left(\frac{x_2 - l}{3l} \right) + x_1 x_2 \left(\frac{2x_1 + \alpha l}{l} \right) + \frac{\alpha l^3}{24} \frac{\alpha l}{Z} + e^{\alpha|x_2-x_1|} + \frac{\alpha^3}{6} |x_1 - x_2|^3 + \alpha |x_1 - x_2| \right) \right] \quad (11)$$

上式より曲げモーメントは x を助変数とする非定常不規則関数となることが分かる。以上のようにして静的応答が求められたならば、以下のようにして与えられたレベル $M_a(x)$ を超過する破壊確率を求めることができ。いま、 $\bar{M}_o(x) = \bar{M}(x) - M_a(x)$ で定義し、これら新たな不規則関数を導入すると、破壊といふ事象は $\bar{M}_o(x)$ がレベル 0 を正超過することであつると考えられる。特に $\bar{M}_o(x)$ が非定常は正規分布に従う場合、 $\bar{M}_o(x) = d\bar{M}_o(x)/dx$ の結合確率密度 $p(\bar{M}_o, \dot{\bar{M}}_o; x)$ は、式(12)のようになるので、単位時間 当りの平均超過回数 $\lambda_4(0; x)$ は、

$$\lambda_4(0; x) = \int_0^\infty p(0, \bar{M}_o; x) \bar{M}_o d\bar{M}_o = \frac{\sigma_{\bar{M}_o}}{2\pi \sigma_{\dot{\bar{M}}_o}} \exp\left(-\frac{\bar{M}_o^2}{2\sigma_{\bar{M}_o}^2}\right) \exp\left(-\frac{1}{2(1-p)} \left[\frac{(\bar{M}_o - \bar{M})^2}{\sigma_{\bar{M}_o}^2} - 2p(\bar{M}_o - \bar{M})(\dot{\bar{M}}_o - \bar{M}_o) + \frac{(\dot{\bar{M}}_o - \bar{M}_o)^2}{\sigma_{\dot{\bar{M}}_o}^2} \right]\right) \quad (12)$$

となる。²⁾ 式(12)(13)において、 $\bar{M}_o(x), \sigma_{\bar{M}_o}(x)$ は $\bar{M}_o(x)$ の期待値および標準偏差であり、また $\bar{M}_o(x), \sigma_{\dot{\bar{M}}_o}(x)$ は $\dot{\bar{M}}_o(x)$ の期待値および標準偏差である。さらに、 $p(x)$ は同一断面における $\bar{M}_o(x)$ と $\dot{\bar{M}}_o(x)$ との間の相関係数であり、 $\Phi(u) = (\sqrt{2\pi})^{-1} \int_u^\infty \exp(-t^2/2) dt$ は確率積分である。はりが安全であるためにには、レベル $M_a(x)$ は $\bar{M}_o(x)$ に比べてかなり大きいものではなければならない。そのような場合には $\bar{M}_o(x)$ が正領域へ超過する事象はそれであつて、 $\bar{M}_o(x)$ の正超過回数はボアソン分布で近似でき、破壊確率 Q は式(14)より求まる。

$$Q = 1 - \exp\left\{-\int_{-\frac{l}{2}}^{\frac{l}{2}} \lambda_4(0; x) dx\right\} \quad (14)$$

4. 数値計算例 以上示した諸式を用いて数値計算を行つた。その一例を図-3, 4 に示す。図-3 は式(7)を用ひて、荷重の大きさの平均を一定値 12 にして変動係数 V_p を変化させた場合の安全率 ν と破壊確率 Q の関係を計算した結果を示したものである。また荷重の大きさの平均値 V および変動係数を一定(それぞれ 1.25 と 0.65)にして安全率を変化させた場合の設計用曲げモーメント M_{COMP} とスパン長 L との関係を図-4 に示す。ここに安全率とは M_{COMP}/\bar{M} を示すものとする。図-3を見れば、安全率が大きくなつて破壊確率が小さくなり、また同一安全率でも荷重の変動係数が大きくなれば、破壊確率が大きくなることがわかつ。さらに図-4を見れば、同一安全率に対しては設計用曲げモーメントはスパン長に比例して増加することがわかつ。

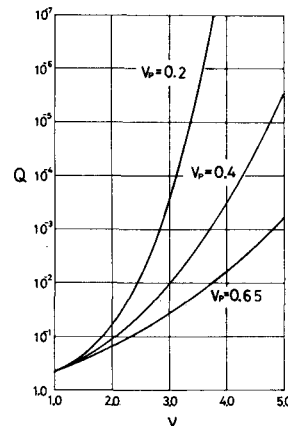


図-3

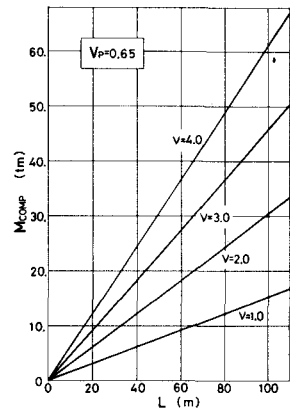


図-4

1) Ржаницын А. Р.: Теория расчета строительных конструкций на надежность. Стройиздат, Москва, 1978. 2) Болотин В. В.: Применение методов теории вероятностей и теории надежности в расчетах сооружений. Стройиздат, Москва, 1971.